

Stable Isotopes (O, H and S) in the Muteh Gold Deposit

M. J. Abdollahi¹, M. H. Karimpour², A. Kheradmand³

1- Shahid Bahonar University, Faculty of Sciences, geology department.

2- Ferdowsi University of Mashhad, Faculty of Sciences, geology department.

Email: kmgbkh@gmail.com

(Received: 29/5/2008, in revised form: 19/7/2008)

Abstract: The Muteh gold district is located about 70 km northeast of Golpaygan within Sanandaj-Sirjan metamorphic zone of Zagros Structural Belt. Geological studies show that the area had been under poly - phase metamorphism. Gold mineralization occurs in metamorphic complex which consists mainly of green schists, meta-volcanics, and gneisses. Shear zones are the host of gold mineralization, and intense alterations occur along the normal faults. Gold paragenesis minerals include pyrite, chalcopyrite, pyrrhotite and secondary minerals. There is three generation of pyrites. This contribution is aimed to improve our knowledge of understanding the source of the ore-bearing fluids in this area. In this regard, fifteen samples were selected for hydrogen, oxygen and sulfur isotope studies. The mean values of 12.4‰ and -42‰ for $\delta^{18}\text{O}$, and δD isotopes with the mean value of 7.75‰ of calculated fractionation factors for $\delta^{18}\text{O}_{\text{H}_2\text{O}}$ from quartz veins indicate that metamorphic host rocks are the most important source for the fluids and gold mineralization in the Muteh area. Gold mineralization is closely associated with intense hydrothermal alteration along the ductile shear zones. However, our observation shows that the characteristics of the gold mineralization in the study area are also similar to that of other hydrothermal with magmatic origin. Five available sulfur isotope ($\delta^{34}\text{S}$) data are highly variable (+2.2, 6.6, 9.1, 13.9, and 16.9‰) even from the same type of hosted rocks. The isotope data, suggest that the source of sulphurs were not homogenous. Based on sulfur isotope compositions at Muteh gold district, it can be concluded that several different sources or processes could account for the sulphide fluids. The $\delta^{34}\text{S}$ values in the studied area demonstrate that source of sulphides are mainly derived from the metamorphism fluids though hydrothermal fluids related to magmatic activities.

Keywords: Muteh, gold deposit, pyrite, stable isotopes, Sanandaj-Sirjan zone.



بررسی ایزوتوپ‌های هیدروژن، اکسیژن و گوگرد در منطقه کانساری موته

محمد جواد عبدالهی^۱، محمد حسن کریم‌پور^۲، علی خردمند^۱

۱- دانشگاه شهید باهنر کرمان، دانشکده علوم، گروه زمین شناسی

۲- دانشگاه فردوسی مشهد، دانشکده علوم پایه، گروه زمین شناسی

پست الکترونیکی: kmgbkh@gmail.com

(دریافت مقاله: ۸۷/۲/۱۰، نسخه نهایی: ۸۷/۴/۲۹)

چکیده: ناحیه طلای موته در هفتاد کیلومتری شمال گلپایگان در زون دگرگون سندنج - سیرجان در کمربند ساختاری زاگرس قرار گرفته است. بررسی‌های مختلف زمین‌شناسی انجام شده در منطقه، همگی گویای آنند که منطقه موته دستخوش چند فاز کوهزایی شده است. کوهزایی طلا در کمپلکس دگرگونی که بیشتر شامل شیست سبز، سنگ‌های آتشفسانی دگرگون و گنایس‌ها هستند رخ داده است. زون‌های برشی میزبان کوهزایی طلا هستند، و دگرسانی‌های شدید در راستای گسل‌های نرمال رخ داده است. پاراژنهای طلا شامل پیریت، کالکوپیریت، پیروتیت و کانی‌های ثانویه هستند. سه نسل متفاوت پیریت در منطقه شناخته شده‌اند. هدف این مقاله بررسی و تعیین خاستگاه شاره‌های کانه‌زا در این ناحیه است. به این منظور ۱۵ نمونه برای بررسی ایزوتوپ‌های پایدار هیدروژن، اکسیژن، و گوگرد انتخاب شدند. مقادیر ۱۲/۴ درهزار و ۴۲- درهزار به ترتیب برای میانگین ایزوتوپ‌های O^{18} و D از کانی‌های کانسار طلای موته به دست آمدند. میانگین $O_{H2O}^{18} D$ محاسبه شده برای رگچه‌های کوارتزی این کانسار ۷/۷۵ در هزار است و نشان-دهنده آنست که سنگ‌های میزبان دگرگون، مهمترین خاستگاه، شاره‌ها و کوهزایی طلا در منطقه موته هستند. کوهزایی طلا در ارتباط نزدیک با شدت دگرسانی گرمایی در راستای زون‌های برشی است. هرچند مشاهدات ما نشان می‌دهد که مشخصات کوهزایی طلا در منطقه مورد مطالعه به فعالیت‌های آذرین نیز وابسته‌اند. میزان (^{34}S)CDT $\delta^{34}S$ اندازه‌گیری شده در پنج نمونه از پیریت‌ها مقادیر ۲/۲، ۶/۴، ۱۳/۹، +۹/۱، +۶ و +۱۶/۹ را نشان می‌دهند و چنین به نظر می‌رسد که از نظر ایزوتوپی خاستگاه گوگردیا یکنواخت نبوده است. مقادیر متفاوت S^{34} در موته گویای آنند که بخش گسترهای از این سولفیدها به وسیله شاره‌هایی که گوگرد آنها مشتق شده از سنگ میزبان دگرگون است، شکل گرفته‌اند، و بخش کمتری با گرمابهایی که خاستگاه ماقمایی دارند به وجود آمده‌اند.

واژه‌های کلیدی: کانسار طلا، موته، پیریت، ایزوتوپ‌های پایدار، زون سندنج سیرجان.

شده و ریخت برآمده و فلات گونهای را در منطقه به وجود آورده است. تراکم درزهای و شکستگی‌های فرعی در رخمنون-ها، و گسل‌های موجود، معبر مناسبی را برای عملکرد مؤثر عوامل جوی، هوازدگی، فرسایش، و تشکیل نهشته‌های طلا فراهم ساخته‌اند. کانی‌سازی طلا ارتباط بسیار نزدیکی با سیستم‌های کوهزایی پیریت، و آرسنوبیریت دارد که به صورت پراکنده و رگهای درون سنگ میزبان که بیشتر متاریولیتی است قرار گرفته‌اند. علاوه بر متاریولیت‌ها با توجه به اینکه کانسار طلای موته از نظر ساختاری بخشی از زون سندنج - سیرجان

مقدمه

روستای موته در ۱۵۰ کیلومتری شمال باختی اصفهان، ۲۷۰ کیلومتری جنوب باختی تهران، و ۶۰ کیلومتری جنوب خاوری دلیجان قرار دارد. فاصله آن تا گلپایگان ۵۰ کیلومتر و راه ارتباطی آن از طریق جاده آسفالت‌های است که گلپایگان را به بزرگراه دلیجان - اصفهان وصل می‌کند. فازهای مختلف ساختاری، دگرگونی، و دگرسانی در این منطقه باعث تغییر توالی‌های اولیه واحدهای سنگی شده است. حرکت‌های زمین-ساختی گسلی سبب جدایش کوهستان‌ها از دشت‌های اطراف

هیدروژن دارای دو ایزوتوب پایدار سبک H^1 و سنگین D^2 است [۱]. دوتیریم است که آنرا با حرف D نیز نشان می‌دهند. فراوانی این ایزوتوب‌ها به ترتیب ۹۹/۹۸۵ و ۰/۱۵ درصد است. این عنصر دارای یک ایزوتوب رادیواکتیو H^3 یا تریتیم نیز هست که آنرا با حرف T نشان می‌دهند. ترکیب ایزوتوبی هیدروژن بر حسب اختلاف نسبت‌های D/H و با استاندارد SMOW استاندارد میانگین آب (اقیانوس‌ها) سنجیده می‌شود.

اختلاف‌های فیزیکی که بین آب معمولی (H_2O) و آب سنگین (D_2O) وجود دارد سبب می‌شود تا ضمن فرایندهای طبیعی رفتارشان تغییر کند [۲]. انتشار، یکی از فرایندهای است که باعث جدایش ایزوتوبی آب می‌شود [۲]. مولکول‌های سبک آب سرعت انتشار بیشتری نسبت مولکول‌های سنگین به هنگام حرکت در درون سنگ‌ها دارند [۳]. سرعت واکنش نیز از عواملی است که می‌تواند بر جدایش ایزوتوبی اثر گذار باشد [۴]. سرعت بسیاری از واکنش‌های تعادلی در دماهای پائین کند و با افزایش دما سرعت بیشتری می‌یابند. به همین جهت، بسیاری از واکنش‌های دمای پائین از رسیدن به جدایش ایزوتوبی تعادلی باز می‌مانند [۴].

اکسیژن فراوانترین عنصر در پوسته و گوشتۀ زمین است. در طبقه‌بندی گلدشمیت در گروه عناصر لیتوفیل و آتموفیل قرار دارد و دارای سه ایزوتوب پایدار است. از سه ایزوتوب اکسیژن ۱۶، ۱۷، و ۱۸ اختلاف نسبت‌های O^{18}/O^{16} برای اندازه‌گیری ترکیب ایزوتوبی اکسیژن به کار می‌رود. دو استاندارد دیگر نیز برای این اندازه‌گیری وجود دارند که عبارتند از: دماسنجدی در دماهای پائین نسبت به PDB، و اندازه‌گیری‌های دیگر نسبت به استاندارد میانگین آب (اقیانوس‌ها) [۵]. برای این اندازه‌گیری‌ها، مقدار ۵ از رابطه زیر به دست می‌آید:

$$\delta^{18}O = \left[\frac{\left(^{18}O / ^{16}O \right)_{\text{نمونه}}}{\left(^{18}O / ^{16}O \right)_{\text{استاندارد}}} - 1 \right] \times 1000$$

با استفاده از فرمول بالا، تغییرات O^{18} در طبیعت در حدود ۱۰۰ در هزار است که نیمی از آن به آبهای جوی واپسته است. مقدار O^{18} در گوشته برابر با $3 \pm 0/3$ در هزار است و به نظر می‌رسد این مقدار در طول زمان در زمین و ماه ثابت بوده است [۶]. با این حال، کیسر و همکاران [۷] نشان دادند که قلیایی بازالت‌های هاوائی دارای O^{18} بیشتری نسبت به تولیت‌ها هستند که این خود می‌تواند بیانگر وجود مقدار کمی ناهمگنی ایزوتوبی در گوشته باشد. بیشتر سنگ‌های دگرگون، تهنشستی، و گرانیت‌ها در مقایسه با گوشتۀ زمین، غنی‌شدگی بیشتری از O^{18} را نشان می‌دهند. کانی‌های

است مجموعه‌ای از سنگ‌های تهنشستی، آذرین و دگرگونی در آن برونزد دارند. از سنگ‌های دگرگونه مافیک و بازیک موجود در منطقه مورد مطالعه، آمفیبوليٹ‌ها، متاپازیت‌ها و شیسته‌های سبز را می‌توان نام برد که به صورت متناوب با سنگ‌های آتشفسانی آواری، تهنشستی، و دگرگونی اسیدی برونزد یافته‌اند. سنگ‌های آهکی - دولومیتی و دولومیت‌های ماسه‌ای - چرتی موجود در منطقه نیز بر اثر فرایندهای دگرریختی و دگرگونی و نیز فعالیت‌های زمین‌ساختی به شدت چین خورده و شکل تازه‌ای یافته‌اند [۱]. سنگ‌های مورد مطالعه در اکثر مناطق را می‌توان به صورت زیر تقسیم‌بندی کرد: یک مجموعه فلزیک که بیشتر شامل کانی‌های کوارتز، سریسیت هستند، و در آنها دانه‌های کوارتز در نسل‌های متفاوت و بعد مختلف دیده می‌شوند. در این مجموعه که بیشتر ترکیب ریولیتی دارند کوارتزهای موجود، چندین مرحله دستخوش دگرشکلی شده‌اند و چند مرحله چرخش در این دانه‌ها به خوبی دیده می‌شود. کوارتزهای اولیه بیشتر به صورت پرفیروکلاست در متن سنگ دیده می‌شوند، اما کوارتزهای دیگر که ناشی از عملکرد فازهای گرمابی هستند، و نیز کانه‌زایی شدید نشان می‌دهند که به صورت رگچه‌های ریز و در بعدی کوچکتر دیده می‌شوند. سنگ‌های فلزیک موجود در منطقه به شدت روند میلیونیتی را پشت سر نهاده‌اند و در حد فرامیلیونیتی خود را نشان می‌دهند. دسته دوم سنگ‌های میزبان کانه‌زا، سنگ‌های شیستی با ترکیب فلزیک و کالک سیلیکاتی و در نهایت شیسته‌های سبزیاند که با کانی‌شناسی کوارتزهای ریزدانه، سریسیت، موسکویت، کلریت، بیوتیت، و اپیدوت نمود کاملاً مشخصی به ویژه در منطقه چاه خاتون دارند. این سنگ‌ها برگوارگی شدیدی نشان می‌دهند. کانی‌های تیره (پیریت‌ها) بیشتر در راستای این برگوارگی‌ها دیده می‌شوند که می‌تواند میان همزمان بودن تشکیل آنها با دگرگونی باشد. شیسته‌های سبز با فراوانی کانی‌های کلریت اپیدوت و نیز بیوتیت در مقاطعه به خوبی قابل تشخیص‌اند. پدیده‌های بسیار رایج در بیشتر شیسته‌های این منطقه وجود زینولیت‌های فراوان است که بیشتر از جنس سنگ‌های آتشفسانی اسیدی بوده و می‌تواند بیانگر خاستگاه آتشفسانی برای این شیسته‌ها باشد. چندین توده نفوذی گرانیت‌وییدی هم در منطقه تزریق و جایگزین شده‌اند که تفاوت‌هایی را از لحاظ مجموعه کانیابی، رنگ، و بافت نشان می‌دهند. بررسی ایزوتوب‌های پایدار این سنگ‌ها می‌تواند راهنمای مناسبی برای شناخت خاستگاه شاره‌های کانه‌ساز باشد.

است باید سعی شود تا با بخش پودر به چهار قسمت و تکرار آن در چند مرحله، میزان پودر مورد نیاز برای آزمایش‌های ایزوتوبی را به نحوی تهیه کرد که به طور دقیق همان ویژگی‌های پودر اولیه را دارا باشد. در مرحله سوم که در بسیاری از کارهای پژوهشی کاربرد دارد جدایش کانی‌های خاصی است که باید روی آنها آزمایش انجام شود. در اینجا باید سعی شود که پس از خردایش، نمونه را از چند الک عبور داد، تا دانه‌های با اندازه مورد نظر جدا شوند. با خرد کردن دوباره نمونه‌هایی که از الک عبور نکرده‌اند می‌توان مواد اولیه بیشتری در اختیار داشت.

مواد دانه ریزتر از اندازه مورد نظر نیز بایستی در این مرحله خارج شوند. پس از این مرحله، مواد انتخابی را شسته تا گرد و غبار آنها به طور کامل زدوده شود. پس از خشک کردن نمونه، می‌توان کار جداسازی را به یکی از روش‌های جداسازی با دست، جداسازی با آبگون‌های سنگین، جداسازی مغناطیسی، و یا روش‌های متداول دیگر انجام داد. کار جداسازی نمونه‌های برداشت شده در آزمایشگاه ایزوتوبی دانشگاه دالهوزی کشور کانادا انجام پذیرفت. در این مرحله نخست از نمونه مقطع نازکی تهیه شد و سپس با استفاده از بررسی‌های میکروسکوپی درجهٔ خلوص نمونه یا به عبارتی عدم وجود میانبار در آنها را تعیین کردیم. به دلیل آنالیزهای ایزوتوبی O¹⁸ و H انجام شده روی کانی کوارتز، عدم وجود مسکوویت و سریسیت در کوارتزها از اهمیت فوق العاده‌ای برخوردار است.

به دلیل فراوانی پیریت در نمونه‌های برداشت شده از معدن موته، کانی مورد نیاز برای اندازه‌گیری ایزوتوب گوگرد نیز پیریت انتخاب شد که آنهم از این قاعده مستثنی نیست. پس از حصول اطمینان از نداشتن میانبار، نمونه‌ها خرد شدند و پس از چند مرحله شستشو، فاز شسته شده در آبگون سنگین بروموفرم (CHBr₃) به دو بخش سبک و سنگین تقسیم شد. سپس این دو فاز در جدا کنندهٔ مغناطیسی فرانتر¹ قرار گرفتند. هر بخش با میکروسکوپ دوچشمی و جدایش دستی، مورد بررسی قرار گرفت و کانی‌های کوارتز، پیریت، کلریت، و فلدسپات پ TASIM از نمونه‌ها برای آزمایش ایزوتوبی انتخاب شد. میزان ۱۰ گرم از هر کانی و به آزمایشگاه ایزوتوبی دانشگاه کوینز در کینگاستون² کانادا ارسال شد. ارسال ۱۰ گرم از هر نمونه از دانشگاه دالهوزی به آزمایشگاه ایزوتوبی دانشگاه کوینز به دلیل اطمینان از وجود مقدار کافی نمونه بوده است. این نمونه‌ها با طیف‌سنج جرمی مدل VG-3600 آنالیز شدند. آماده

تشکیل دهنده سنگ‌های آذرین نیز مقادیر متفاوتی از O¹⁸ را در بر دارند، به عبارت دیگر هر چه جدایش ماقمائي بيشتر شود، میزان O¹⁸ نيز افزایش مي‌باشد. کوارتز دارای بيشترین و مگنتیت حاوی کمترین مقدار O¹⁸ بين کانی‌های تشکیل دهنده سنگ‌های آذرین هستند. بر این اساس، می‌توان گفت که گرایش کانی‌های سیلیکاتی در مرکز O¹⁸ به ترکیب شیمیایی آنها بستگی دارد. کانی‌هایی که پیوندهای Si - O - Si - O در آنها زياد است، نسبت به کانی‌های دارای پیوندهای Si - O - Fe و Si - O - Mg بيشتری دارای غني شدگی بيشتری هستند و اين هر دو نيز غني شدگي بيشتری نسبت به کانی‌های با پیوندهای Al - O - Al نشان مي‌دهند. به عبارت دیگر می‌توان گفت که ایزوتوب‌های سنگین‌تر ترجیح می‌دهند وارد ترکیب‌های با پیوند محکمتر شوند^[۸]. بنابراین، سنگ‌های فرا بازيک دارای کمترین مقدار O¹⁸^δ و سنگ‌های گابرو، بازالت، و آنورتوزیت دارای مقادیر متوسط و سنگ‌های گرانیتی و پگماتیتی دارای بيشترین مقدار O¹⁸^δ هستند^[۹]. میزان O¹⁸^δ آب‌های ماقمائي را بين +۵ و +۱۰ تا +۲۰ در سنگ‌های آذرین نادگرسان در گستره ۷ تا +۹ ذكر کرده‌اند.

باز یا بسته بودن سیستم‌های ماقمائي نيز بر میزان O¹⁸^δ موثر است. در سیستم باز با فوگاسیته اکسیژن بالا نخست مگنتیت متببور می‌شود و ماقمائي باقیمانده از آهن تهی ولی از O¹⁸ غني خواهد شد. در سیستم بسته در صورت عدم تشکیل مگنتیت، ماقمائي باقیمانده از آهن غني ولی از نظر O¹⁸ تهی می‌شود، زيرا کانی‌های سیلیکاتی که زودتر تشکیل می‌شوند ایزوتوب O¹⁸ را در خود متمرکز می‌کنند. آب‌های جوي نيز به دليل داشتن O¹⁸^δ منفي به هنگام برخورد با توده‌های آذرین باعث افت مشخصی در O¹⁸^δ اين توده‌ها مي‌شوند. اين تبادل ایزوتوبی فقط به توده آذرین محدود نشه و ممکن است روی سنگ میزان پيرامون آن هم هاله دگرسان شده‌اي ايجاد کند که گاه قطر اين هاله تا سه برابر توده آذرین است. مقدار O¹⁸/O¹⁶ در آب‌های جوي که از نظر ایزوتوبی سبك‌ترند در گستره ۲۴ - تا ۷ + قرار دارد.

روش کار

آمده‌سازی نمونه‌ها را شايد بتوان يكی از مهمترین مراحل بررسی‌های ایزوتوبی برشمرد. در اولین مرحله که خردایش است باید تلاش شود که دانه‌های ريز و همگنی که نشان نمونه اصلی است به نحوی حاصل آيد که آلايش در آنها در کمترین میزان ممکن باشد. در دومین مرحله که تقسیم یا بخش‌پذیری

1 - Frantz

2 - Kingstone

مناطقی که بلورهای وجهدار پیریت شکل گرفته‌اند یک بافت موزاییکی با اتصال سه‌گانه (۱۲۰ درجه) دیده می‌شود که نشانگر تجدید تبلور بر اثر آبگون‌های کانه‌ساز است که برخی آنرا بافت جوان می‌خوانند. در کنار این پیریت‌ها گونه‌ی دیگری از پیریت وجود دارد که خردشگی شدیدی را نشان می‌دهند. برخی از دانه‌های پیریت دارای میانبارهایی از پیروتیت، کالکوپیریت، بیسموت، و طلا هستند [۱۲]. دانه‌های پیریت در برخی نمونه‌ها علاوه بر جانشینی هیدروکسیدهای آهن در حاشیه دانه‌ها، با برگوارگی نیز همراهند. کوهستانی و همکاران [۱۳]، کانیهای سولفیدی از جمله پیریت، کالکوپیریت و آرسن‌پیریت را به دو نسل تقسیم کرده‌اند. به عقیده این نویسنده‌گان، نسل اول این کانی‌ها درشت دانه و وجهدار بوده و جدا از هم یا در راستای شکستگی‌ها یا مرز دانه‌های کوارتز قرار گرفته‌اند. از بین این کانی‌ها پیریت در ابعاد چند میلی‌متری، سمت‌یافته، و دارای ظاهری لامینه مانند است. این پیریت‌ها همزمان با تغییر شکل و هم روند با برگوارگی میلیونیت موجود در منطقه معرفی شده‌اند. سولفیدهای نسل دوم، پیریتها و کالکوپیریت‌های ریزدانه و بی‌شکل‌اند که بدون هیچ‌گونه دگرگشکلی در سنگ‌های دگرسان پراکنده‌اند. در این کار پژوهشی پیریت‌ها به سه دسته قبل، همزمان، و پس از فرایندهای زمین‌ساختی تقسیم شده‌اند.

- پیریت‌های پیش از فرآیندهای زمین‌ساختی

بیشتر بلورهای پیش از فرآیندهای زمین‌ساختی، پیرامونشان بافت سایه فشاری دیده می‌شود و به دلیل اینکه پیش از همه فرایندهای دگریختی وجود داشته‌اند معمولاً آثاری از کرش را نشان می‌دهند. برخی از سیماهای شناساننده این کانیها در منطقه مورد بررسی قرار گرفتند. بلورهای دارای شکستگی، مربوط به پیش از فرایندهای زمین‌ساختی هستند که بر اثر نسبت کرش زیاد و دمای کم شکسته شدن. پیریت در بعضی نمونه‌ها به این شکل دیده می‌شود که بیانگر تشکیل کانی پیریت پیش از فرایندهای زمین‌ساختی است (شکل ۱ الف).

- پیریت‌های همزمان با فرآیندهای زمین‌ساختی

گرچه در سنگ‌های تاریخت شده بیشتر فازهای زمینه گویای رشد یا تبلور دوباره همزمان با دگرگشکلی هستند، گاهی از اینکه یک بلور پیش از / یا هنگام فرایندهای زمین‌ساختی وجود داشته است دشوار است. علت این است که بلورهایی که همزمان با دگرگشکلی پدیدار می‌شوند تا اندازه‌ای به کرش در می‌آیند و اغلب یک یا چند شاخص کرنشی را نشان می‌دهند که در بالا برای بلورهای پیش از فرایندهای زمین‌ساختی گفته شد. ولی

سازی (تهیه گاز) برای آنالیز این نمونه‌ها به روش Online انجام شد.

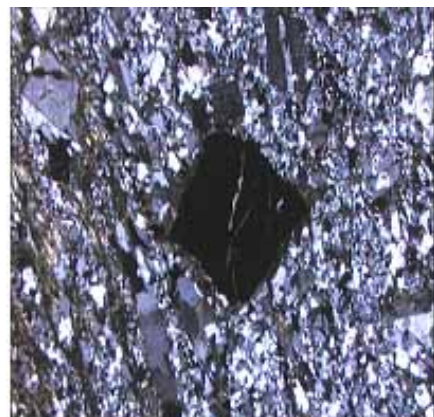
بحث

پیریت از کانه‌های غالب موجود در سنگ‌های منطقه است. پیریت به دلیل در بر داشتن ذرات ریز طلا، همواره مورد توجه بوده است. تمرکز کانه‌زایی طلا بیشتر در پهنه‌های برشی است. فازهای دگرگشکلی در این منطقه تحت تاثیر پهنه‌های برشی باعث ایجاد انواع برگوارگی، میلیونیت و محیط تراکشی^۳ شده و بخش اصلی کانه‌زایی طلا در محیط‌های تراکشی و برگوارگی ناشی از این فاز بوده است.

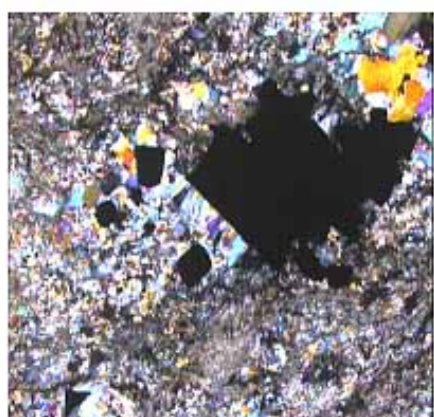
آزمایش‌های کانی‌شناسی سولفیدی و فلزشناسی نشان دادند که نزدیک به ۸۵ درصد طلا همراه با پیریت و ۱۵ درصد آن همراه با کوارتز است [۱۱]. پیریت، بیشتر به صورت پراکنده در سنگ‌ها حضور دارد و به شکل انبوه فقط در برخی از رگچه‌ها دیده شد. گرچه در بیشتر مواقع شکل منظم هندسی از خود نشان می‌دهند، ولی دانه‌های نیمه‌وجهدار و بی‌وجه نیز کم نیستند. در بعضی از نقاط نیز این پیریت‌ها به اکسیدها و هیدروکسیدهای آهن تبدیل شده‌اند که از آن جمله می‌توان هماتیت، گوتیت، و لیمونیت را نام برد. شکستگی‌های مؤین موجود در برخی از این پیریت‌ها بیانگر آنست که این دانه‌ها پس از تشکیل، دستخوش فرایندهای زمین‌ساختی شدیدی نشده‌اند. حالت دندانه‌ای را که بر اثر وجود گوتیت و لیمونیت در حاشیه پیریت‌ها ایجاد شده‌اند، می‌توان نشانه هوازدگی و دگرسانی آنها پس از تشکیل دانست. در حاشیه بعضی از پیریت‌ها اکسیدهای آهن به شکل هماتیت تیغه‌ای بیانگر تغییراتی است که بر اثر هوازدگی ایجاد شده است. در مواردی نیز در اثر فشار شاره‌ها و یا فشار دینامیکی، دانه‌های پیریت خرد شده و بافت برشی را نشان می‌دهند. فرایندهای کششی اعمال شده در منطقه نیز روی پیریت‌ها اثر گذاشته و در تعدادی از آنها حالت گسیختگی به وجود آورده است. شکستگی‌های مؤین موجود در پیریت‌ها با کالکوپیریت پر شده است. در بعضی دیگر از پیریت‌ها بر اثر دگرگونی، بیوتیت‌ها و یا کلریت‌ها دانه‌های شکل دار پیریت را قطع کرده‌اند. حالت جریانی در این نمونه‌ها، در اثر احاطه شدن دانه‌های پیریت با میکاها بازتر است. در این مقاطع رابطه نزدیک دانه‌های درشت و شکل دار پیریت با رگچه‌های کوارتز در خور توجه است. در تعدادی از نمونه‌های برداشت شده از کانسار چاه‌خاتون در

راستای شیستوزیته کشیده شده‌اند در منطقه مورد بررسی یافت می‌شوند. (شکل ۱ ب).

شیستوزیته کانی‌های همزمان با فرایندهای زمین‌ساختی دگرگونی را دور می‌زند و بلورهای همزمان با تکتونیکی معمولاً همراه با شیستوزیته می‌چرخند. بعضی از این بلورها که در



الف



ب



پ

شکل ۱ انواع پیریت. الف: پیش از زمین‌ساختی، ب: همزمان با زمین‌ساختی، و پ: پس از زمین‌ساختی.

هشدار بیشتری نسبت به $\delta^{18}\text{O}$ دارد [۱۸]. لازم به یادآوری است که مقدار δ از رابطه زیر به دست می‌آید [۱۹]

$$\delta = \frac{\text{نسبت ایزوتوپی نمونه}}{1000} - 1$$

(نسبت ایزوتوپی استاندارد $\times 1000 - 1$)

مقادیر δD و $\delta^{18}\text{O}$ رگه‌های کوارتزی معادن سنجه و چاه خاتون (شکل ۲) نمونه‌های ۱-AB تا ۶-AB و از سنگ‌های مجاور این رگه‌ها (۷-AB تا ۱۰-AB) در جدول شماره (۱) آورده شده‌اند. رگه‌های کوارتزی در گستره معدن، در بر دارنده پیریت و طلا و در خارج از این گستره فاقد کانی‌سازی و یا به عبارت دیگر عقیم‌اند. اگر کانی‌سازی هم در این سنگ‌ها رخ داده باشد میزان آن به قدری جزئی است که می‌توان از آن چشم-پوشی کرد. با توجه به نبود آب در تعدادی از نمونه‌ها، δD فقط در دو نمونه کوارتز و ۳ نمونه شیست انداره‌گیری شد. (جدول ۱). میزان δD در دو نمونه کوارتز برابر با ۴۹ و ۴۵ در هزار نسبت به میانگین آب اقیانوس‌ها، با میانگینی برابر با ۴۲ در هزار است. میزان δD در فلدسپات‌های گرانیت کانسار دره اشکی به علت نبود آب در آنها قابل اندازه‌گیری نبود، ولی در بیوتیت‌ها و کلریت‌های موجود در بیوتیت شیست‌ها و بیوتیت-مسکوویت شیست‌های منطقه کانساری، میزان δD در نمونه‌های AB-۹ و AB-۱۰ به ترتیب برابر با ۶۴ و ۶۳ در هزار قرار گرفت. در شکل ۳، AB-۸ و AB-۹ هم در گستره آب‌های دگرگون و هم در گستره شاره‌های ماقمایی اولیه واقع می‌شوند، و AB-۱۰ فقط در گستره آب‌های دگرگون قرار می‌گیرد.

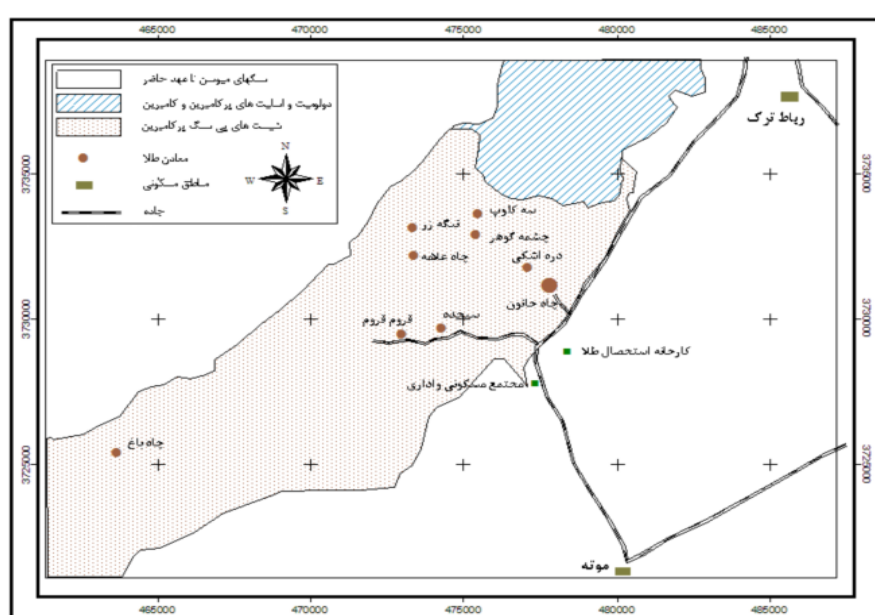
- پیریت‌های پس از فرایندهای زمین‌ساختی

شبه ریختی یک کانی با انبویی از کانی دیگر از شناسه‌های مهم پس از فرایندهای زمین‌ساختی است که به هنگام برخاست، شرایط فشار - دمای کاهشی، با دگرگونی پسرونده همراه است. در منطقه مورد بررسی، پیریت‌های پس از زمین‌ساختی عموماً در کنار کلریت‌های ثانویه که به خرج بیوتیت به وجود آمده‌اند، دیده می‌شوند و سمتگیری کترهای نسبت به شیستوزیت₂ نشان می‌دهند (شکل ۱ ب).

بررسی ایزو توپ‌های پایدار

ایزو توپ هیدرولیک

بر پایه اندازه‌گیری ایزوتوپ‌های هیدروژن در سنگهای آذرین نادگرسان، مقدار δD در گستره ۵۰ - تا ۸۶ -، آبهای مگمایی در گستره ۴۰ - تا ۸۰ - و آبهای دگرگونی بین ۲۰ و ۶۵ - در هزار قرار می‌گیرند. داده‌های ایزوتوپی هیدروژن در کانی‌ها، رگه‌های کوارتز، و شاره‌های درگیر، از نواحی مختلف گزارش شده است. از جمله فوی و همکاران [۱۴]، میزان δD را برای ناحیه تمیینز برابر با $+6$ تا -50 در هزار، ری و ری [۱۵] در سال ۱۹۷۴، δD برای هومستیک را بین -55.8 - تا -12 - در هزار و کریچ و واتسون [۱۶] این مقدار را برای معدن ماکاسا^۳ بین -6 - تا -150 - در هزار گزارش کرداند. دمای پائین آبهای جوی سبب می‌شود تا مقدار دویتربیم آنها کاهش یافته و منفی - تر شوند [۱۷]، فشار بخار آب رابطه معکوس با جرم ایزوتوپ - های هیدروژن و اکسیژن دارد به نحوی که می‌توان گفت O^{16}



شكل ٢ موقعیت معادن ناحیه کانساری موتہ.

جدول ۱ داده‌های ایزوتوبی اکسیژن و هیدروژن در ناحیه کانساری موته.

شماره	شماره برداشت صرحایی	نوع سنگ	نوع کانی	Yield	$\delta^{18}\text{O}$ (SMOW)	درصد آب	$\delta^{18}\text{O}$ هیدروترمال	δD (SMOW)
AB-۱	SE-۲	کوارتز رگچه	کوارتز	۱۶,۵	۱۱,۶	۰,۰۶	۶,۰۰	-۳۵
AB-۲	SE-۵-۱	بیوتیت شیست	کوارتز	۱۵,۵	۱۱,۴		۵,۸	
AB-۳	SE-۷-۱	سنگ‌های آشفشانی دگرگون	کوارتز	۱۶,۱	۱۳,۲		۷,۶	
AB-۴	CHK-۱۵-۲	کوارتز رگچه	کوارتز	۱۶,۷	۱۲		۶,۴	
AB-۵	CHK-۱۳-۲	کوارتز رگچه	کوارتز	۱۷,۰	۱۲,۲	۰,۲	۶,۶	-۴۹,۴
AB-۶	CHK-۱۵-۱	کوارتز رگچه	کوارتز	۱۵,۵	۱۴,۳		۸,۷	
AB-۷	Dag	گرانیت	-K فلدسبات	۱۵,۲	۱۰		۱۰	
AB-۸	D-A-۳-۲	بیوتیت شیست	بیوتیت	۱۳,۱	۸	۳,۷	۶,۸۷	-۶۴
AB-۹	۵B	بیوتیت - مسکوویت شیست	بیوتیت	۱۴,۱	۶,۴	۵,۰	۵,۲۷	-۶۳
AB-۱۰	۵C	بیوتیت - مسکوویت شیست	کلریت	۱۳,۵	۴,۱	۱۲,۲	۳,۹۲	-۴۹

کرد. بنابراین مهیوت و همکاران^۴ [۲۲]، میزان فاکتور جدایی $\delta^{18}\text{O}$ محاسبه شده برای نمونه‌های کوارتزی ۱-AB، ۴-AB، ۵-AB و ۶-AB تغییراتی بین $+6\text{ to }+8\%$ در هزار با میانگین $6,92$ در هزار را نشان می‌دهند (میزان $\delta^{18}\text{O}_{\text{H}_2\text{O}}$ محاسبه شده برای این نمونه‌ها به ترتیب برابر با $+6,4\text{ to }+6,6$ در هزار است، جدول، ۱) نمونه‌های کوارتزی ۱-AB، ۴-AB، از رگچه‌های عقیم معادن سنجده و چاهخاتون و نمونه‌های کوارتزی ۵-AB، ۶-AB، از زون کانه‌زایی این معادن برداشت شده‌اند. بررسی‌های میکروسکوپی نشان داد که دو نمونه اخیر در بر دارنده پیریت، کلریت، و کربنات‌اند. پیریت‌ها نسبت به رگچه‌های کوارتزی ثانویه بوده و رگچه‌های کربناتی پس از این دو شکل گرفته‌اند. مقدار $\delta^{18}\text{O}_{\text{H}_2\text{O}}$ این رگچه‌های کوارتزی بیانگر آنست که شاره‌های به وجود آورنده این آبغون‌ها بیشتر خاستگاه خارجی داشته‌اند.

نمونه ۲-AB یک بیوتیت شیست از زون کانه‌زایی کانسار سنجده است که حاوی پیریت، و کالکوپیریت است. بیوتیت، پیریت، و کالکوپیریت کانی‌های اصلی سنگ و رگچه‌های درشت دانه کوارتزی کانی‌های ثانویه‌ای هستند که سنگ میزان برگوار را قطع کرده‌اند. این کوارتزها فاقد کانه‌زایی بوده و کانه‌زایی در خود سنگ رخ داده است. دو نوع پیریت در این سنگ وجود

ایزوتوپ اکسیژن برای اندازه‌گیری $\delta^{18}\text{O}$ نیز از رگچه‌های کوارتزی، فلدسبات، بیوتیت، و کلریت‌های معادن سنجده و چاهخاتون نمونه برداری و به آزمایشگاه ایزوتوپی دانشگاه کوئینز کانادا ارسال شد. نتایج به دست آمده در جدول ۱، با شماره‌های (۱-AB تا ۶-AB) آورده شده‌اند. نتایج حاصل از سنگ‌های مجاور رگچه‌های کانساری نیز در همین جدول با شماره‌های (۷-AB تا ۱۰-AB) نشان داده شده‌اند. درصد بسیار بالایی از رگچه‌های کوارتزی در ناحیه کانساری در بر دارنده پیریت و کانی‌های طلا هستند، ولی در خارج از آن عقیم و یا میزان کانه‌زایی آنها بسیار اندک است. لازم به یادآوری است که برخی از رگچه‌های درون این گستره نیز فاقد کانه‌زایی هستند. مقادیر $\delta^{18}\text{O}$ به دست آمده در نمونه‌های کوارتزی برداشت شده از معادن چاهخاتون و سنجده، تغییراتی بین $+11,6\text{ to }+14,3$ در هزار را نسبت به استاندارد میانگین آب اقیانوس‌ها نشان می‌دهند. بر این اساس، میانگین برای این دو معدن برابر با $+12,4$ در هزار است (جدول ۱). از آنجا که دما کنترل کننده جدایی ایزوتوپی ایزوتوپ‌های پایدار بین کانی و گرمابه‌است، با در نظر گرفتن دمایی معادل 300°C درجه سانتیگراد برای شکل‌گیری رگچه‌های کوارتزی [۲۰، ۲۱]، می‌توان مقدار $\delta^{18}\text{O}$ گرمابی‌ها را محاسبه

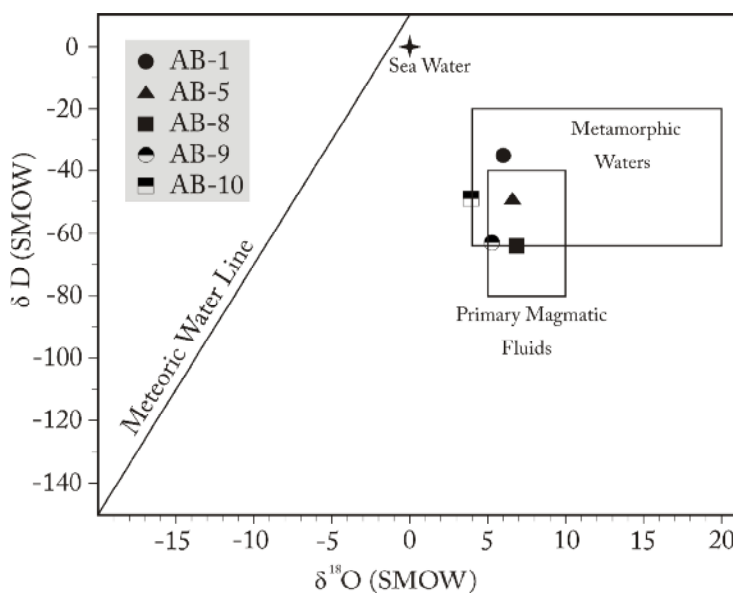
مستقیم و بدون محاسبات اضافی در نمودار شکل ۳ وارد کرد. با این وجود، به علت نبود آب در این کانی و عدم اندازه-گیری δD نمی‌توان محل آنرا در گستره ماقمایی شکل ۳ نشان داد. بررسی‌های صحرایی حاکی از آنست که توده گرانیتی دره-اشکی که در بخش باختری کانسار سنجده و چاهخاتون بروونزده است، ارتباطی با کانه‌زایی طلا ندارد.

AB - ۸ یک بیویتیت شیست و نمونه‌های ۹ - AB و ۱۰ - AB دو بیویتیت - مسکوکویت شیست که از شمال باختری و شمال کانسار چاهخاتون نزدیک به لوکوگرانیت دره‌اشکی برداشت شده‌اند. بیویتیت و کلریت‌های موجود در این سنگ‌ها درشت دانه‌اند. به نظر می‌رسد کلریت‌ها و بخشی از پیریت‌های این سنگ‌ها بر اثر دگرسانی بیویتیت‌ها ایجاد شده باشند. داده‌های صحرایی و بررسی‌های میکروسکوپی نشان می‌دهند که این سه نمونه بر اثر دگرسانی گرمابی شکل گرفته‌اند. تغییرات $\delta^{18}O$ برای این نمونه‌ها در مقایسه با میانگین استاندارد آب اقیانوس‌ها، $+4/1$ تا $+8$ در هزار است. میانگین $\delta^{18}O$ این سه نمونه برابر با $+6/1$ در هزار است. محاسبه فاکتور تفکیک $\delta^{18}O_{H_2O}$ این سه نمونه به روش مهیوت و همکاران [۱]، تغییراتی بین $-3/92$ و $+6/87$ در هزار را نشان می‌دهند. این اعداد می‌توانند در ارتباط با رویداد کانه‌زایی باشند. برای نمونه‌های -۸ AB و -۹ AB نیز میزان $\delta^{18}O$ بیانگر آنست که شاید خاستگاه آب موجود در بیویتیت‌ها از آبهای ماقمایی باشد.

دارند: دسته اول پیریت‌های ریزدانه که در حد میلی‌مترند و دسته دوم درشت دانه و در حد سانتی‌متر. در این سنگ O^{18} در دانه‌های درشت کوارتز اندازه‌گیری شد.

AB - ۳ یک سنگ آذرین دگرگون شده از کانسار سنجده است. سیلیسی شدن در این سنگ شدید و دانه‌های کوارتز به صورت پر کننده فضاهای خالی و نیز به شکل تبلور دوباره به وجود آمده‌اند. این کوارتزها نیز عقیم بوده و ارتباطی با کانه‌زایی ندارند. کانه‌های کدر در این سنگ را پیریت، کالکوپیریت و کالکوسیت تشکیل می‌دهند. اندازه دانه‌های پیریت در این سنگ نیز مشابه $AB-2$ است. $\delta^{18}O_{H_2O}$ $8/8$ اندازه‌گیری شده در $AB-2$ برابر با $5/8$ و در $AB-3$ برابر با $7/6$ با میانگین $6/7$ در هزار است (جدول، ۱). این مقادیر با مقادیر یاد شده برای سنگ‌های ماقمایی یا با آبهای در حال تعادل با سنگ‌های ماقمایی در دماهای بالا ($+5$ تا $+10$ در هزار) همپوشی دارند. آنها همچنین با شاره‌های دگرگون ($+5$ تا $+20$ در هزار، شفرد، ۱۹۸۶) چنین همپوشی را نشان می‌دهند. بر این اساس شاید بتوان گفت که این رگچه‌ها در خلال دگرگونی شکل گرفته‌اند. با مقایسه بین $\delta^{18}O$ نمونه‌های $AB-1$ تا $AB-6$ با پژوهش‌های دیگر انجام شده مثل [۲۳]، می‌توان گفت که شاره‌های تشکیل دهنده رگه‌ها و رگچه‌های کوارتزی در کانسارهای سنجده و چاهخاتون خاستگاه گرمابی دگرگون و یا در برخی موارد خاستگاه آذرین داشته‌اند.

AB - ۷ یک گرانیت از کانسار دره‌اشکی است و مقدار $\delta^{18}O$ فلدسپات آن را که برابر با 10 است، می‌توان به طور



شکل ۳ نمودار مقایسه دامنه تغییرات ایزوتاپ‌های اکسیژن و هیدروژن آبهای ماقمایی، دگرگونی، گرمابی، اقیانوسی، و سطحی [۲۴].

(جدول ۲). تغییر در مقادیر $\delta^{18}\text{S}$ در کانی‌ها و شاره‌ها ممکن است بر اثر تغییر در دما، شرایط احیایی، pH، و مقدار ایزوتوب در خاستگاه اولیه گوگرد باشد [۲۹]. پیریت بیشترین فراوانی را بین کانیهای کدر معدن طلای موته به خود اختصاص داده و مهم‌ترین فاز همراه طلاست. کالکوپیریت، مارکاسیت، گالنوبیسموتیت، بیسموت، گالن، اسفالریت، و پیروتویت از دیگر کانیهای کدر این کانسارند که از نظر فراوانی پس از پیریت قرار می‌گیرند [۲۱]. یا توجه به اعداد به دست آمده می‌توان گفت که ترکیب ایزوتوبی گوگرد در سولفیدهای چاهخاتون و سنجده در گستره گسترده $+2/2$ تا $+16/9$ در هزار قرار می‌گیرند. چنانچه این اعداد را بر اساس اهموتو و ری [۳۰]، محاسبه کنیم مقدار $\delta^{34}\text{S}$ گرماب برای داده‌های یاد شده در گستره $+0/98$ تا $+15/68$ در هزار قرار می‌گیرند.

$\text{AB}-1$ و $\text{AB}-2$ به ترتیب پیریت‌های موجود در بیوتیت شیسته‌ایی هستند که از زون کانه‌زایی معدن چاهخاتون و سنجده برداشت شده‌اند. کانه‌زایی در نمونه $\text{AB}-1$ موازی برگوارگی است و هیچگونه دگرشکلی در آن مشاهده نمی‌شود. رگچه‌های فراوان کوارتز نیز در این سنگ‌ها از گستردگی خوبی قرار دارند. کلریتها نیز در این سنگ‌ها به موازات برگوارگی برخوردارند و به نظر می‌رسد از دگرسانی گرمابی بیوتیتها ایجاد شده باشند. بررسی‌های میکروسکوپی نشان می‌دهد که شکل-گیری یک دسته از پیریت‌ها را می‌توان نتیجه همین دگرسانی دانست. میزان $\delta^{34}\text{S}$ گرماب محاسبه شده برای پیریت‌های این دو سنگ به ترتیب برابر با $-15/65$ و $-15/68$ ٪ است.

$\text{AB}-3$ یک سنگ آتشفسانی دگرگون از معدن سنجده است که از ۵۰ متری باختر نمونه $\text{AB}-2$ برداشت شده است. پیریت، کالکوپیریت، و کالکوسیت کانی‌های تیره این سنگ را تشکیل می‌دهند. $\delta^{34}\text{S}$ گرماب که بر اساس اهموتو و ری [۳۰]، محاسبه شد، برای پیریت‌های این سنگ برابر با $-7/88$ ٪ است.

$\text{AB}-4$ و $\text{AB}-5$ پیریت‌های کانسار چاهخاتون هستند که از رگچه‌های کوارتزی برداشت شده‌اند. پیریت و کالکوپیریت در نمونه $\text{AB}-4$ از گسترش خوبی برخوردارند و میزان $\delta^{18}\text{S}$ گرماب که بر اساس اهموتو و ری [۳۰]، محاسبه شد، برای پیریت‌های این سنگ برابر با $-12/68$ ٪ است.

$\text{AB}-5$ نیز یک رگچه کوارتزی کانه‌دار است که ابعاد دانه‌های پیریت در آن در حد سانتیمتر است. ترکیب ایزوتوبی

میزان $\delta^{18}\text{O}$ اندازه‌گیری شده در فلدسپات پتاسیم سنگ‌های گرانیتی کانسار دره‌اشکی $+10/25$ است. این مقدار بر اساس شکل ۳، در مرز بین گرانیت‌های تیپ S و تیپ I قرار می‌گیرد. ولی با توجه به غنی‌شدنی ضعیف در عناصر نادر خاکی سبک، و تهی‌شدنی ضعیف در عناصر نادر خاکی سنگین و نابهنجاری منفی یوروپیم در نمونه گرانیت یاد شده، می‌توان آنرا یک گرانیت S معرفی کرد.

بر اساس نتایج به دست آمده از ایزوتوب‌های اکسیژن می-توان گفت که گرماب‌های تشکیل دهنده رگه‌ها و رگچه‌های کوارتزی و نیز شیسته‌های کانسارهای سنجده و چاهخاتون، هم خاستگاه دگرگونی و هم ماقمایی داشته‌اند. شایان ذکر است که بررسی‌های میکروسکوپیکی انجام شده نشان داده است چنانچه کوارتز تبلور دوباره یابد مقادیر $\delta^{18}\text{O}$ می‌تواند به صورت بخشی و یا حتی کلی به تعادل جدیدی برسد. مقدار این تغییرات به میزان گسترش و دمای تبلور دوباره وابسته است (۲۶ و ۲۷) [۲۸]. با توجه به اینکه در منطقه مورد بررسی سیلیسی شدن یکی از پدیده‌های رابج دگرسانی گرمابی است، و کوارتز به صورت رگه‌ای، رگچه‌ای، تبلور دوباره، پر کننده فضاهای خالی، و رو رشدی به فراوانی دیده می‌شود، بخشی از تغییرات موجود در مقادیر $\delta^{18}\text{O}$ کوارتزهای آزمایش شده را شاید بتوان به این پدیده‌ها نسبت داد.

ایزوتوب گوگرد

با بررسی نمونه‌های برداشت شده از معدن سنجده و چاهخاتون و آزمایش‌های سنگ‌شناسی و بررسی‌های انجام شده با میکروسکوب الکترونی و ریزکاو، سه نسل مختلف پیریت در این معدن تشخیص داده شدند. کانه‌سازی طلا بیشتر در پیریت‌های با آرسنیک بالا رخ داده است. دسته اول این پیریت‌ها به صورت پراکنده در سنگ میزان رخ داده و ممکن است بتوان آنها را پیریت‌های پیش از دگرگونی دانست. دسته دوم پیریت‌های ریز دانه‌ای هستند که در راستای برگواره انتشار یافته‌اند، و دسته سوم، پیریت‌های شکل‌دار تا نیمه شکل‌دار درشت دانه که در رگه‌ها و رگچه‌های قطع کننده برگواره و نیز در زمینه سنگ میزان پیش آمده‌اند.

آزمایش‌های ایزوتوبی گوگرد در کانسار موته روی پیریت‌های موجود در رگچه‌های کوارتزی، بیوتیت شیسته‌ها و شبه آذرین‌ها صورت گرفت. میزان $\delta^{18}\text{S}$ (CDT) $+2/2$ ، $+6/6$ ، $+9/1$ ، $+12/9$ ، و $+16/9$ را نشان می‌دهند مقادیر

گرماب محاسبه شد، برای پیریت‌های این سنگ برابر با ۵/۳۸ چاهخاتون و سنجده تغییراتی بین $+0.98$ تا $+15.68$ در هزار را نشان می‌دهند. با توجه به آن که $S^{18}S$ گرماب حاصل از معادن یاد شده بیشتر از ± 5 در هزار است، بنابراین شاید مناسب نباشد که همه آنها را به گرماب با خاستگاه ماقمایی نسبت داد. چنانکه بیش از این گفته شد سه نسل مختلف از پیریت را می‌توان در ناحیه طلادر موته مشاهده کرد. بیشتر گوگردهای این پیریت‌ها ممکن است یا از شاره‌های دگرگون ناشی از دگرگونی ناحیه‌ای ریشه گرفته باشند و یا بر اثر انحلال و فروشست کانی-های سولفیددار قبلی [۳۰]، ایجاد شده باشند. چنین سیمایی ممکن است نشان‌دهنده آن باشد که سنگ‌های دگرگون منطقه از جمله سنگ‌های آتش‌شانی دگرگون و شیسته‌های سبز توانسته باشند گوگرد را وارد سیستم شاره‌ای کنند. مقادیر $S^{18}S$ در مرحله اصلی کانه‌زایی در موته دارای میانگین 12.08 در هزار برای نمونه‌های AB-۱، AB-۳ و AB-۴ است (جدول، ۲). این میانگین می‌تواند بازگو کننده آن باشد که حالت احیایی شاره پایین‌تر از مرز SO_2/S_2H بوده است و گونهٔ غالب سولفور احیایی در شاره بوده است [۳۰]. مقادیر $S^{18}S$ پیریت‌های جدا شده از کانستگ وضعیت مشابهی با پیریت‌های سنگ‌های دگرگون میزان و گوگرد موجود در کل سنگ دگرگون سنگ‌های میزان را دارد. بر این اساس شاید بتوان گفت که سنگ‌های دگرگون بیش از پرمین موجود در منطقه قادر به وارد کردن گوگرد به سیستم شاره بوده‌اند.

مقادیر $AB-5, S^{34}S^{18}$ و $AB-2$ یاد شده با میانگین سه نمونه قبلى قربتی را نشان نمی‌دهند و ممکن است حاکی از خاستگاه‌های متفاوتی باشند. مقادیر $S^{34}S^{18}$ گرمابی این دو کانی $+0.98$ و $+5.38$ در هزار است که می‌تواند نشان‌دهنده نسل‌های متفاوتی از پیریت در نمونه‌های یاد شده باشد (جدول، ۲). ترکیب ایزوتوبی گوگرد AB-۲ در گسترهٔ "گوشته" - ماقمایی (۴- تا $+4$ در هزار CDT) واقع می‌شوند. این خود می‌تواند نشان‌دهنده نسبی حالت اکسیدی نسبت به حالت گوگرد احیایی در شاره گرمابی در خلال تشکیل این پیریتها باشد.

بر اساس ترکیب ایزوتوب‌های گوگرد در منطقه کانساری موته، خاستگاه شاره‌های سولفیدی نمی‌توانند یکسان باشند. مقادیر $S^{34}S^{18}$ در سنگ‌های موته گویای آنند که برخی از این سولفیدها به وسیلهٔ شاره‌هایی که گوگرد آنها مشتق شده از سنگ میزان دگرگون است به وجود آمده و برخی دیگر به وسیلهٔ گرمابی‌هایی که ریشهٔ ماقمایی دارند شکل گرفته‌اند.

اکسیژن و هیدروژن این سنگ نیز اندازه‌گیری شد. $S^{18}O$ % است. پیریت‌های موجود در منطقه ۱ بر اساس ترکیب، پارازنز، شکل، رخداد، و ویژگی‌های دیگر زمین‌شناسی به سه دسته تقسیم می‌شوند:

پیریت‌های نوع اول پیریت‌های پیش از فرایندهای دگرگونی‌اند و دارای مقدار جزئی طلا هستند. این نوع پیریت در سنگ‌های دگرگون کانسار موته و گرانیت‌های کانسار دره-اشکی پیش آمده‌اند. علاوه بر طلا، عناصر متعدد دیگری مثل تلوریم، نقره، کبات، آهن، گوگرد، و سیلیسیم را می‌توان در آنها مشاهده کرد که نشانگ بالا بودن این عناصر در محیط به هنگام تشکیل پیریت است. کبات در این پیریت‌ها بسیار بالا و سیلیسیم که مقدار آن نیز بالاست در مرکز پیریت‌ها دیده می‌شود. پیریت‌های نوع دوم همزمان با زمین‌ساختی و در راستای شیستوزیته سنگ‌های دگرگون مشاهده می‌شوند. گرچه بر پایه برخی نظریه‌ها، این پیریت‌ها فاقد کانه‌زایی بوده و طلا نیز در آنها دیده نشده است، ولی آنالیزهای انجام شده با میکروسکوب الکترونی آزمایشگاه مرکزی دانشگاه شهید چمران، بیانگر آنست که این پیریت‌ها نیز در بر دارنده طلا هستند. نوع سوم پیریت‌ها بیشتر در رگه‌های سیلیسی همراه با کلریت‌های ثانویه موجود در مناطقی که دگرسانی شدیدی را پشت سر گذاشته‌اند یافت می‌شوند. این پیریت‌ها دانه درشت بوده و در بر دارنده اشکال مختلفی از طلا هستند. خوئی [۳۱]، نیز معتقد است که، با توجه به وجود پیروتیت در بخش مرکزی این پیریت‌ها کانه‌زایی نخست در دمای بالا و فوکاسیته گوگرد کم با پیروتیت آغاز و پس از آن با کاهش دما و افزایش اسیدیته دانه‌های پیریت تشکیل شده‌اند. کبات در مرکز این دانه‌ها همراه با پیروتیت رخداده است ولی به سمت حاشیه از بین رفته و به جای آن طلا و بیسموت در حاشیه رو به فزوئی گذاشته‌اند. آرسنیک عنصر دیگر است که این پیریت‌ها را همراهی می‌کند.

چنین به نظر می‌رسد که از نظر ایزوتوبی خاستگاه گوگردها یکنواخت نبوده و به عبارت دیگر تشکیل پیریت‌ها را نمی‌توان فقط به یک رخداد خاص نسبت داد. به تجربه ثابت شده است که سولفیدهای درونزدی که در نهشته‌های گرمابی ماقمایی شکل گرفته‌اند و یا حتی سولفیدهای موجود در یک ناحیه معدنی به ندرت تغییر ترکیبی بیشتر از ± 5 در هزار را نشان می‌دهند و در بیشتر موارد این تغییرات کمتر از مقدار یاد شده است [۲۴]. ضریب تفکیک محاسبه شده برای مقادیر $S^{34}S^{18}$ گرماب پیریت‌ها، بر اساس روش اهموتو و ری [۳۰]، از معادن

جدول ۲ مقادیر ایزوتوپ‌های گوگرد در منطقه کانساری موته.

شماره نمونه	شماره برداشت صحرابی	نوع سنگ	نوع کانی	Approx %S	$\delta^{34}\text{S}_{\text{H}_2\text{S}}$	$\delta^{34}\text{S}$ (CDT)
AB - ۱۱	SE-۵ ۱	بیوتیت شیست	پیریت	۲۲,۷	۱۶,۹	۱۵,۶۵
AB - ۱۲	SE-۵ - ۲	بیوتیت شیست	پیریت	۵۷	۲,۲	۰,۹۸
AB - ۱۳	SE-۷ - ۲	متاولکانیک	پیریت	۶۵,۸	۹,۱	۷,۸۸
AB - ۱۴	CHK-۱۳ - ۱	رگچه کوارتر	پیریت	۵۸,۲	۱۳,۹	۱۲,۶۸
AB - ۱۵	CHK-۱۵ ۱ - ۱	رگچه کوارتر	پیریت	۵۹,۸	۶,۶	۵,۳۸

بیشتر موارد تغییرات چشمگیری بر اکثر کوارتزها و دیکر کانی-ها طی تشکیل نداشته‌اند [۳۴]، مقادیر به دست آمده برای کوارتزها با تغییراتی بین ۱۱/۴ تا ۱۴/۳ در هزار در گستره رگه‌های کوارتزی نهشته‌های گرمابی طلای کلیه ادور قرار می‌گیرند [۳۳]. تغییرات O^{18} و D در نمونه‌های کوارتزی ۱-AB تا ۶-AB نشانگر آنست که شاره‌های تشکیل دهنده رگه‌ها و رگچه‌های کوارتزی در کانسارهای سنجده و چاهخاتون خاستگاه‌های متفاوتی داشته‌اند. همچنین مقادیر O^{18} و D در نمونه‌های ۷-AB، ۸-AB و ۹-AB بیانگر آنست که شاره‌های تشکیل دهنده این کانی‌ها تمایل به آب‌های ماقمایی دارند.

زمانی که دما به سمت بینهایت میل کند، ضریب تفکیک آلفا به سمت یک میل خواهد کرد. این بدان علت است که تغییر جزیی در جرم در زمانی که تمام مولکول‌ها انرژی جنبشی بسیار بالایی دارند، اهمیت چندانی ندارند. بر این اساس می‌توان برای نمونه ۷-AB، که یک سنگ آذرین است مقدار O^{18} را بدون محاسبات ضریب تفکیک و به طور مستقیم به کار برد.

برداشت

- دگرگونی‌ها و دگرسانی‌ها از جمله مهمترین عوامل کانه‌زایی در منطقه هستند.
- توزیع و کانه‌زایی طلا در موته به نحو گسترده‌ای به وسیله مناطق برشی کنترل شده‌اند.
- کانه‌زایی طلا رابطه نزدیکی با شدت دگرسانی در مناطق برشی دارد. رخساره دگرگونی شیست سبز به عنوان سنگ

خاستگاه شاره‌های کانه‌زا

چنانکه گفته شد، شاره‌های کانه‌زا در کانسارهای موته حاوی طلا بوده و بسیاری از ویژگی‌های نهشته‌های طلای کوه‌زایی در رخساره شیست سبز - آمفیبولیت را نشان می‌دهند. گرچه در بیشتر موارد، مولفه‌های دگرگونی را عامل ایجاد شاره‌های اینگونه نهشته‌ها می‌دانند [۳۲]، ولی نقش آب‌های جوی را در تشکیل نهشته‌های رخساره شیست سبز یا زیر رخساره شیست سبز را هم نباید از نظر دور داشت [۳۲]. در مورد کانسارهای طلای موته، دگرگونی ناحیه‌ای را می‌توان خاستگاه اصلی شاره‌های کانه‌ساز عنوان کرد، با این وجود، شاره‌های کانه‌زایی وابسته به فعالیت‌های ماقمایی نیز از اهمیت ویژه‌ای برخوردارند. شاید بتوان بر اساس موریت و همکاران [۲۱]، سن کانه‌زایی اصلی سنگ‌های دگرگون را به پره‌پرمن نسبت داد. ارتباط زمانی و مکانی تنگاتنگی که بین زون‌های کانه‌زایی و زون‌های راستای لغز در منطقه وجود دارد می‌تواند گویای این باشد که آب‌های جوی که به بخش‌های عمیق پوسته نفوذ کرده‌اند نیز از دیگر عوامل شکل‌گیری شاره‌های کانه‌ساز بوده‌اند.

کریچ [۳۳]، نشان داد که یکنواختی در مقادیر O^{18} کوارتز در نهشته‌های رگه‌ای Au-Ag بیانگر یکنواختی ایزوتوبی در گرمابها و نیز شرایط دمایی مشابه کانی‌سازی است. داده‌های ایزوتوبی اکسیژن و هیدروژن که از کانی‌های کوارتز، بیوتیت، و کلریت‌های کانسارهای چاهخاتون و سنجده به دست آمده طیف نسبتاً باریکی را نشان می‌دهند. این موضوع می‌تواند حاکی از آن باشد که ویژگی‌های ایزوتوبی شاره‌های کانه‌ساز در

especially good on application of rare – earth data to petrogenetic problems.

[۱۰] کریمپور م. ح، سعادت س، (۱۳۸۴): "زمین‌شناسی اقتصادی کاربردی"، انتشارات ارسلان، مشهد، ۵۳۵ صفحه.

[۱۱] Mehrabi B., – Darehbidi M. H., (2003): "Characterization and processing of the Muteh refractory sulphide ore", proceeding of Applied Mineralogy Conference, Helsinki, Finland.

[۱۲] خوئی ن، (۱۳۶۱): "تگاهی گذرا بر متالوژنی کانسار طلای موته" ، وزارت معادن و فلزات، سازمان زمین شناسی کشور، آزمایشگاه مقاطع صیقلی، گزارش داخلی، ۷ صفحه.

[۱۳] کوهستانی ح، رشیدنژاد عمران ن، راستاد ا، (۱۳۸۳): "تحولات زئوژیمیایی عناصر اصلی و فرعی و ارتباط آنها با کانه زایی طلا در پهنه‌های برشی کانسار چاه باغ" ، منطقه معدنی موته، بیست و سومین گردهمایی علوم زمین، تهران، ایران.

[۱۴] Fyon J. A., Croket J. H., Schwarcz H. P., (1983a): "Application of stable isotope studies to gold Metalogeny in the Timmins – Purcupine camp.NTS 42A", Cochrane District: Ontario Geological Survey. Open File Report 5464, 182 p.

[۱۵] Rye D.M., Rye R.O., 1974, "Homestake gold mine", South Dakota: I. Stable isotope studies: Economic Geology, v. 69, p. 293-317.

[۱۶] Kerrich R., Watson G.R, (1984): "The Macassa Mine Archean lode gold deposit", Kirkland Lake, Ontario: patterns of alteration and hydrothermal regimes: Economic Geology, v. 79, p. 104-1130.

[۱۷] Craig H., (1961 b): "Isotopic variation in meteoric waters.", Science, 133, 1702 – 1703

[۱۸] [اعتمادی بیژن، مترجم، (۱۳۷۰): "زمین‌شناسی ایزوتوبی" ، انتشارات دانشگاه شیارز، ۲۷۵ صفحه]

[۱۹] Brownlow A. H., (1979): "Geochemistry", Prentice Hall, Inc., Englewood Cliffs, N. J., 498 p.

[۲۰] یوسفی‌نیا ن، (۱۳۸۳): "مطالعه سیالات درگیر کانسار طلای موته و امکان استفاده از آن به عنوان یک معیار اکتشافی جهت تفکیک زون‌های طلا دار و عقیم" ، رساله کارشناسی ارشد زمین‌شناسی اقتصادی، دانشگاه تربیت معلم تهران، ایران، ۱۲۰ صفحه.

میزبان کانه‌زایی بوده و از کانی‌های کلریت، کلسیت، بیوتیت، و کوارتز به همراه رگچه‌های کوارتز- پیریتی طلدار تشکیل شده است.

۴- شکل‌گیری برخی از کلریت‌ها و پیریت‌ها در ارتباط مستقیم با دگرسانی بیوتیت‌ها هستند.

۵- داده‌های ایزوتوبی نشانگر آنند که نمی‌توان فقط یک خاستگاه برای شاره‌های کانه‌زا در نظر گرفت.

۶- گرچه بسیاری، گرماب با خاستگاه دگرگون ناحیه‌ای را برای کانه‌زایی پیشنهاد می‌کنند، ولی بنابر نتایج به دست آمده این گرماب‌های خاستگاه آذرین را نیز نمی‌توان نادیده گرفت.

مراجع

- [۱] Rashidnejad Omran. N, (2002) "Petrology and Geochemistry of the Volcano-sedimentary and plutonic rocks of the south of the Delijan", Concentration on Gold mineralization, PhD thesis, Tarbiat Moddares University, Tehran, Iran, 404p.
- [۲] شهاب پور، ج، (۱۳۸۲): "زمین‌شناسی اقتصادی" ، دانشگاه شهید باهنر کرمان، ایران، صفحه ۵۴۳، ۲۶۶ صفحه، چاپ دوم.
- [۳] Hoefs J., (1973): "Stable Isotope Geochemistry, in Minerals and Rocks", Springer – Verlag, Heidelberg.
- [۴] مر ف، مدبری س، (۱۳۷۷): "مبانی زمین‌شیمی" ، مرکز نشر دانشگاهی تهران، چاپ اول، ۷۸۸ صفحه
- [۵] Urey H. C., (1947): "The thermodynamic properties of isotopic substances", Journal of the Chemical Society, p. 562-581.
- [۶] Taylor H. P. Jr., (1980): "The effects of assimilation of country rock by magma on $^{18}\text{O}/^{16}\text{O}$ and $^{87}\text{Sr}/^{86}\text{Sr}$ systematics in igneous rock", Earth Planet. Sci. letters, v. 47, p.243-254.
- [۷] Kyser T.K., O'Neil J.R., Carmichael I.S.E., (1982): "Genetic relations among basic lavas and ultramafic nodules", evidence from oxygen isotope compositions: Contributions to Mineralogy and Petrology, v. 81, p. 88-102.
- [۸] Bigeleisen J., (1965): "Chemistry of isotopes", Science, 147, 463-471.
- [۹] Henderson P., (eds.), (1984): "Rare earth element Geochemistry", Elsevier, New York, A series of papers on rare – earth distribution,

- and intracrystalline creep evaluated by oxygen isotope geothermometry”, Tectonophysics, 38, 241–258.*
- [28] O’Hara K.D., Sharp Z.D., Moehler. D.P., Jenkin G.R.T., (1997), “*The effect of deformation on oxygen isotope exchange in quartz and feldspar and significance of isotopic temperatures in mylonites*”, J. Geol., 105, 193–204.
- [29] Ohmoto H., (1972): ‘*Systematics of sulfur and carbon isotopes in hydrothermal ore deposits. Econ. Geol.*’, 67, 551-578. A theoretical study of effects on isotope distribution of the temperature, pH, oxygen fugacity, and ionic strength of hydrothermal solutions.
- [30] Ohmoto H, Rye. R.O, (1979) “*Isotopes of sulfur and carbon. In: Barnes, H.L., (Ed.)*”, Geochemistry of Hydrothermal Ore Deposits, Wiley, New York, 798 p.
- [۳۱] خوبی ن. (۱۳۶۶): ”ارتباط کانی سازی طلای موته با گرانیت های مجاور آن”， ششمین گردهمایی علوم زمین.
- [32] Goldfarb R.J., Leach D.I., Pickthron W.J., Paterson C.J., 1988., “*Origin of lode-gold deposits of the Juneau gold deposit*”, southeast Alaska. Geology 16, 440– 443.
- [33] Kerrich R., (1987): “*The stable isotope geochemistry of Au-Ag vein deposits in metamorphic rocks*”, In: Kyser TK (Ed) Mineral Canada Short Course Handbook 13: 287±336
- [34] Matsuhisa. Y, Goldsmith. J.R, Clayton. R.N, (1979), “*Oxygen isotope fractionation in the system quartz–albite–anorthite–water*”, Geochim. Cosmochim. Acta, 43, 1131–1140.
- [21] Moritz R., Ghazban. F., Singer B.S., (2006): “*Eocene Gold Ore Formation at Muteh, Sanandaj-Sirjan Tectonic Zone, Western Iran*”, A Result of Late-Stage Extension and Exhumation of Metamorphic Basement Rocks within the Zagros Orogen, Economic Geology, v.101, pp. 14.
- [22] Meheut M., Lazzeri M., Balan E., Mauri F., (2007), “*Equilibrium isotopic fractionation in the kaolinite, quartz, water system*”, Prediction from first-principles density-functional theory, Geochim. Cosmochim. Acta, 71, 3170-3181.
- [23] Moritz R., Ghazban F., (1995): “*Gold mineralization in the Precambrian basement of the Zagros belt, Esfahan province, Iran*”, in mineral deposits, Pasava Kribek and Zak (Eds), Balkem, Rotterdam, 161-164.
- [24] Barnes H. L., (1979): “*Geochemistry of hydrothermal ore deposits*”, 2nd Edition, Wiley, p. 798, pp.151.
- [25] O’Neil JR, Chappell BW (1977): “*Oxygen and hydrogen isotope relations in the Berridale Batholith.*”, J Geol Soc Lond 133:559– Sheppard SMF (1986) Characterization and isotopic variations in Stable isotope in high temperature geological processes. Rev.
- [26] Voll G., (1976) “*Recrystallization of quartz*”, biotite and feldspars from Erstfeld to the Leventina Nappe, Swiss Alps, and its geological significance, Schweizerische mineralogische und petrographische Mitteilungen, 56, 641–647.
- [27] Kerrich R., Beckinsale R.D., Durham J.J., (1977): “*The transition between deformation regimes dominated by intercrystalline diffusion*